

هیدرورژئومورفولوژی، شماره‌ی ۸، پاییز ۱۳۹۵، صص ۱۶۰-۱۴۱

وصول مقاله: ۱۳۹۴/۱۱/۲۷ تأیید نهایی مقاله: ۱۳۹۵/۰۸/۰۸

بررسی نوسانات سطح تراز آب زیرزمینی دشت تویسرکان در دو مقیاس نقطه‌ای و منطقه‌ای

زهرا اژدری^{۱*}

یاشار فلامرزی^۲

نرگس پالیزدان^۳

علی فتحزاده^۴

چکیده

این پژوهش برای بررسی نوسانات آب زیرزمینی ۱۶ ایستگاه پیزومتری در مقیاس سالانه و فصلی در دشت تویسرکان، در طی دوره‌ی آماری ۱۳۷۲-۱۳۹۱ انجام گردیده است. بدین منظور جهت تعیین روند نقطه‌ای از روش‌های منکنال اصلاح شده و تخمینگر سن و برای تعیین روند منطقه‌ای از روش مرکب بوت استرپ و متوسط منطقه‌ای من کنдал اصلاح شده استفاده گردید. از آنجایی که روش من کنдал به همبستگی جزئی داده‌ها حساس می‌باشد برای تعیین وجود همبستگی جزئی بین داده‌ها از روش همبستگی متوالی تأخیر - ۱ استفاده شد، سپس روش من کنдал اصلاح شده برای بررسی روند در داده‌های دارای همبستگی جزئی به کار گرفته شد. نتایج نشان داد که به صورت ایستگاهی و در مقیاس سالانه صعودی‌ترین روند مربوط به پیزومتر سرایی با استفاده از هر دو روش من

۱- دانشجوی کارشناسی ارشد آبخیزداری دانشگاه بیزد (نویسنده‌ی مسئول). Email:z.azhdari67@gmail.com

۲- دانشجوی دکتری مهندسی منابع آب دانشگاه پوترا مالزی.

۳- کارشناسی ارشد مهندسی منابع آب دانشگاه پوترا مالزی.

۴- استادیار دانشگاه منابع طبیعی اردکان.

کندال اصلاح شده و سن می‌باشد و نزولی‌ترین روند مربوط به ایستگاه پیزومتری چاشخوران با روش MMK و پیزومتر قلعه نو با روش سن می‌باشد. روند سطح تراز آب زیرزمینی با روش من کندال اصلاح شده در مقیاس فصلی دارای $6/25$ درصد روند مثبت معنی‌دار و $70/31$ درصد روند منفی معنی‌دار و $23/44$ درصد بدون روند می‌باشد و با روش تخمین‌گر سن در مقیاس فصلی $10/94$ درصد دارای روند مثبت معنی‌دار و $89/06$ درصد دارای روند نزولی معنی‌دار می‌باشد. تحلیل روند منطقه‌ای نشان‌دهنده‌ی روند رو به افت سطح تراز آب زیرزمینی دشت است. با توجه به نتایج به دست آمده از این پژوهش روند تغییرات سطح آب زیرزمینی منطقه‌ی مورد مطالعه منفی می‌باشد. اگر بهره‌برداری از منابع آب زیرزمینی در منطقه‌ی مورد مطالعه به شکل کنونی ادامه یابد، بحران‌های اجتماعی و اقتصادی می‌تواند در منطقه شکل بگیرد. با توجه به نتایج این پژوهش باید نسبت به کنترل برداشت از منابع آب‌های زیرزمینی اقدام و سطح آب زیرزمینی با افزایش راندمان آبیاری و تغذیه‌ی مصنوعی افزایش خواهد یافت.

كلمات کلیدی: نوسانات آب زیرزمینی، من کندال اصلاح شده، تخمین‌گر شیب سن، بوت استرپ.

مقدمه

منابع آب زیرزمینی یکی از مهم‌ترین منابع آب به شمار می‌روند که شناخت صحیح و بهره‌برداری اصولی از آن‌ها می‌تواند در توسعه‌ی پایدار فعالیت‌های اجتماعی و اقتصادی یک منطقه، به ویژه در مناطق خشک و نیمه‌خشک، نقش بسزایی داشته باشد. عدم شناخت صحیح و بهره‌برداری بی‌رویه از این منابع خسارت جبران‌ناپذیری مانند افت شدید و غیرقابل برگشت سطح آب زیرزمینی، کاهش دبی چاهها و قنوات را در پی خواهد داشت (باشقره، ۱۳۷۷). بررسی نوسانات سطح آب زیرزمینی ابزاری مفید در تعیین اندازه‌ی تغییرات کوتاه‌مدت و بلندمدت سفره در اقلیم‌های متفاوت

به واسطه‌ی برداشت و تغذیه می‌باشد. یکی از رویکردهای مهم در مطالعات آب زیرزمینی بررسی روند تغییرات عمق دسترسی به آب زیرزمینی در مقیاس‌های مختلف زمانی است (دانشور و ثوقی و همکاران، ۱۳۹۰: ۱۶۵-۱۷۹). تاکنون روش‌های آماری متعددی جهت تحلیل روند سری‌های زمانی ارائه گردیده است که می‌توان آن‌ها را به دو دسته کلی روش‌های پارامتریک و ناپارامتریک تقسیم بندی نمود (حجام و همکاران، ۱۳۸۷: ۱۶۸-۱۵۷). در زمینه‌ی روند تغییرات تراز آب زیرزمینی مطالعات متعددی انجام شده است. همچنین در دهه‌های گذشته روند منفی برای تراز آب زیرزمینی در نقاط مختلف ایران و جهان گزارش شده است. به عنوان مثال زارع ابیانه و همکاران (۱۳۹۱) به بررسی نوسانات عمق آب زیرزمینی در دشت ملایر پرداختند. بدین منظور از متغیرهای زمانی عمق آب زیرزمینی در ۲۲ حلقه چاه پیزومتری و بارش سه ایستگاه بارانسنجی در آبخوان دشت ملایر طی ۱۹ سال (۱۳۸۶-۱۳۶۸) استفاده کردند. آن‌ها روند را در سری داده‌های ماهانه، فصلی و سالانه با اعمال آزمون ناپارامتری تخمین‌گر سن محاسبه و تفسیر و زمان آغاز شدت و جهت روند با به کارگیری آزمون گرافیکی من کنдал را انجام دادند. آن‌ها به این نتیجه رسیدند که مثبت بودن شبیه روندها به معنای افت عمق آب زیرزمینی و کاهش حجم ذخایر آبخوان دشت ملایر است و با مقایسه تغییرات آماره تخمین‌گر سن Q_{med} بین سری‌های زمانی به این نتیجه رسیدند که شدت روند تغییرات سالانه عمق دسترسی به آب زیرزمینی با شدت روند تغییرات فصلی و ماهانه، متفاوت است و در بررسی علل تغییرات سالانه، شناخت روند فصلی و ماهانه لازم به نظر می‌رسد. معروفی و طبری (۱۳۹۰) روند تغییرات سالانه، فصلی و ماهانه دبی رودخانه‌ی مارون را با استفاده از آزمون‌های ناپارامتری من-کنдал و سن و همچنین تحلیل پارامتری رگرسیونی مورد ارزیابی قرار دادند. بدین منظور از داده‌های دبی رودخانه در ۵ ایستگاه آب‌سنگی طی دوره‌ی ۱۳۸۷-۱۳۶۸ استفاده

کردند. آن‌ها به این نتیجه رسیدند که دبی سالانه در همه ایستگاه‌ها، دارای روند نزولی در دو دهه‌ی اخیر بوده است. شمسی‌پور و حبیبی (۱۳۸۷) در بررسی دشت‌های شمال همدان، علت کاهش سطح آب‌های زیرزمینی را تأثیر پارامترهای اقلیمی و خشکسالی در مدت ۱۷ سال آماری (۱۳۶۳-۷۹) با ضریب همبستگی ۴۲ درصد معرفی نمودند. ژانک و همکاران^۱ (۲۰۰۹: ۴۷-۳۵) الگوی مکانی و زمانی مقادیر حداقل و حداًکثر تراز آب زیرزمینی در ناحیه‌ی دلتای رودخانه، پرچین را با روش من-کندال و روش پیش سفید کردن (pre-whitening) شناسایی کردند. آن‌ها به این نتیجه رسیدند که در قسمت بالایی دلتا روند تغییرات تراز آب زیرزمینی کاهشی و در قسمت‌های میانی و پایینی آن افزایشی است.

دشت تویسرکان یکی از مهم‌ترین دشت‌های کشاورزی همدان می‌باشد. بیشترین مقدار آب مصرفی از طریق چاه‌های حفر شده در سطح دشت تأمین می‌گردد. این دشت یکی از دشت‌هایی است که بروز افت در سطح آب زیرزمینی در اثر خشکسالی و برداشت چاه‌های کشاورزی در آن مورد توجه است. هدف از این تحقیق، تعیین روند سالانه و فصلی سطح آب زیرزمینی دشت تویسرکان همدان به دو صورت روند ایستگاهی با روش‌های من-کندال اصلاح شده و تخمینگر سن و روند منطقه‌ای با روش مرکب بوت استرپ-متوسط منطقه‌ای من-کندال اصلاح شده در سطح معنی‌دار ۹۵/۰ می‌باشد.

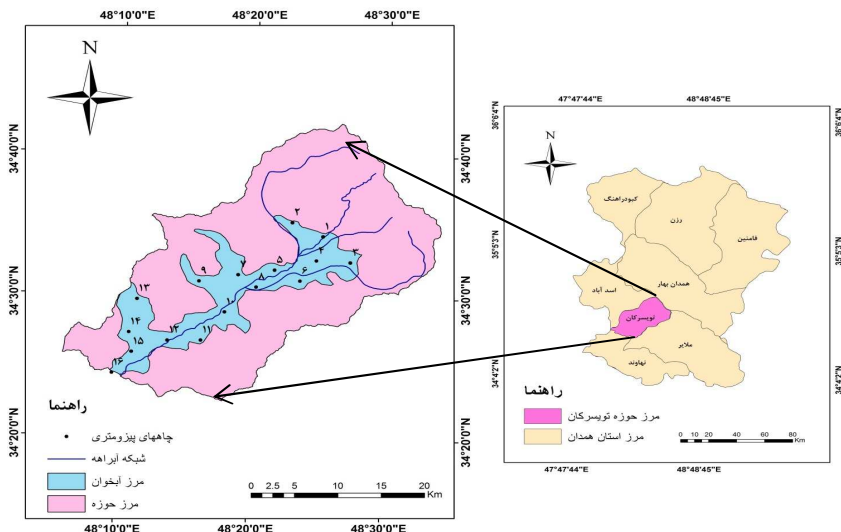
مواد و روش‌ها

معرفی منطقه‌ی مطالعاتی

حوضه‌ی آبخیز تویسرکان در استان همدان در غرب ایران قرار دارد. حوضه‌ی آبخیز تویسرکان به وسعت ۷۹۱/۹۰ کیلومتر مربع می‌باشد، ۲۰/۷ درصد از حوضه‌ی آبخیز

1- Zhang et al.,

را دشت تویسرکان با مساحت ۱۶۴/۴۶ کیلومتر مربع تشکیل می‌دهد. این حوضه‌ی آبخیزدارای کاربری اراضی متعدد می‌باشد و بخش اصلی حوضه را مناطق کشاورزی آبی و دیم تشکیل می‌دهد. حوضه‌ی آبریز دشت تویسرکان از سمت شمال به ارتفاعات الوند، از سمت شرق به کوه‌های شاهنشین بزرگ، دره غار و چشمه دره، از سمت جنوب به کوه‌های الوسیاه و کمرزرد و از سمت غرب به کوه‌های خان‌گرمز و گودین محدود می‌گردد در شکل (۱) شمای کلی حوضه‌ی آبخیز تویسرکان بر روی نقشه‌ی همدان را نشان می‌دهد.



شکل (۱) نمای کلی حوضه‌ی آبخیز تویسرکان و موقعیت آن بر روی نقشه‌ی استان همدان

اجزاء مشکله‌ی آبرفت در سرتاسر دشت تقریباً مشابه بوده و در قسمت‌های سطحی عمدتاً از رس، سیلت و ماسه بوده که با افزایش عمق از مقدار سیلت کاسته شده و به ترتیب بر مقدار ماسه و گراول افزوده می‌گردد. به طوری که می‌توان گفت

عمدتاً از عمق ۵ متر به بعد، ماسه و گراول بیشترین درصد اجزا آبرفت را به خود اختصاص داده و مقدار رس و سیلت کمتر می‌باشد.

به منظور انجام تحلیل‌های روند، ابتدا داده‌های کمی ۱۶ حلقه چاه پیزومتری در سطح دشت مورد توجه قرار گرفت. در نهایت با لحاظ بیشترین طول دوره‌ی آماری (۷۲-۹۱) از داده‌های ۱۶ حلقه چاه در دو مقیاس زمانی فصلی و سالانه استفاده شد و روند به دو صورت روند ایستگاهی و منطقه‌ای مورد بررسی قرار گرفت.

تشخیص روند در ایستگاه‌ها

۱- آزمون آماری من کندال

این روش به صورت گستردگی در بررسی روند داده‌های هیدرولوژیکی و هواشناسی به کار رفته است (حامد^۱: ۳۶۳-۳۵۰؛ ۲۰۰۸). آزمون من کندال به وجود همبستگی جزئی در یک سری زمانی حساس می‌باشد، بنابراین وجود همبستگی جزئی در یک سری زمانی روی نتایج تعیین روند تأثیر می‌گذارد (سرانو و همکاران^۲: ۱۹۹۹؛ ۹۰-۸۵، باسیستا و همکاران^۳، ۲۰۰۹؛ ۵۷۵-۵۵۵). وجود همبستگی جزئی مثبت در یک سری زمانی، احتمال رد شدن فرض صفر را افزایش می‌دهد. این مورد برای وجود همبستگی جزئی منفی در یک سری زمانی بر عکس می‌باشد (کالویرو و همکاران^۴، ۲۰۱۱؛ ۵۶-۴۴). برای بررسی وجود همبستگی جزئی در داده‌ها، روش ضریب همبستگی متوالی تأخیر ۱ (Lag-1) مورد استفاده قرار گرفت.

1- Hamed

2- Serrano et al

3- Basistha et al.,

4- Caloiero et al.,

- ضریب همبستگی متوالی تأخیر ۱

یکی از روش‌ها برای بررسی همبستگی جزئی، روش ضریب همبستگی متوالی تأخیر ۱ (r_1) است که با رابطه‌ی زیر حساب می‌شود:

$$r_1 = \frac{\frac{1}{n-1} \sum_{t=1}^{n-1} [X_t - E(X_t)][X_{t+1} - E(X_t)]}{\frac{1}{n} \sum_{t=1}^n [X_t - E(X_t)]^2} \quad \text{رابطه‌ی (۱)}$$

که در رابطه‌ی $E(X_t)$ میانگین داده‌های نمونه است و n تعداد مشاهدات سری زمانی است. سپس به وسیله آزمون دو دامنه‌ای، معنی‌دار بودن r_1 در سطح معنی‌دار مورد نظر (در این مقاله٪۹۵) مشخص می‌شود. اگر r_1 معنی‌دار باشد، روند داده‌ها با روش من کندال اصلاح شده بررسی می‌شود.

- آزمون من-کندال اصلاح شده برای داده‌های دارای همبستگی جزئی

در این مطالعه از روش من-کندال اصلاح شده به وسیله حامد و رائو^۱ (۱۹۹۸)، برای تخمین روند در داده‌های دارای همبستگی جزئی معنی‌دار استفاده شد. حامد و رائو (۱۹۹۸: ۱۸۲) واریانس را به صورت زیر اصلاح کردند:

$$\text{Variance}(S') = \left(\frac{n - (n-1)(2n+5)}{18} \right) \cdot \left(\frac{n}{n_e^*} \right) \quad \text{رابطه‌ی (۲)}$$

که n_e^* تعداد مؤثر از حجم نمونه که برای محاسبه‌ی فاکتور همبستگی جزئی در نظر گرفته می‌شود، است. $\frac{n}{n_e^*}$ که فاکتور تصحیح واریانس است، به صورت زیر محاسبه می‌شود:

$$\frac{n}{n_e^*} = 1 + \left(\frac{2}{n^3 - 3n^2 + 2n} \right) \cdot \sum_{f=1}^{n-1} (n-f)(n-f-2)\rho_e(f) \quad (3)$$

$\rho_e(f)$ همبستگی جزئی بین رتبه داده‌ها است. برای استفاده از روش من-کندال اصلاح شده، ابتدا به وسیله‌ی یک روش ناپارامتری مانند سن (۱۹۶۸)، مقدار متناظر داده‌ها تخمین زده می‌شود. سپس داده‌های اصلی از داده‌های تخمین زده کم می‌شود و داده‌ها رتبه‌بندی می‌شوند. در مرحله‌ی بعد، همبستگی جزئی بین رتبه داده‌ها محاسبه می‌شود. فقط مقادیر معنی‌دار همبستگی جزئی $p_e(f)$ برای تصحیح واریانس مورد استفاده قرار می‌گیرد. زیرا دقت روش من-کندال اصلاح شده با استفاده از مقادیر (f) که معنی‌دار نیستند، کم می‌شود. بعد از تصحیح واریانس بقیه‌ی محاسبات مانند من-کندال اصلی انجام می‌شود.

- تخمین‌گر شیب سن^۱

تخمین‌گر سن یک شیب میانه را برای سری‌های زمانی محاسبه می‌کند و بعد معنی‌دار آن را در سطح اعتماد موردنظر (در اینجا ۹۵٪) بررسی می‌کند. در این روش ابتدا شیب هر جفت داده مشاهده‌ای با استفاده از فرمول زیر محاسبه می‌شود:

$$Q_i = \frac{X_j - X_k}{j - k} \quad \text{for } i=1, \dots, N \quad (4)$$

که در رابطه‌ی (۴) X_j و X_k به ترتیب مقدار داده‌ها در زمان j و k ($j > k$) است. از محاسبات فوق یک سری زمانی از شیب به دست می‌آید که میانه این شیب‌ها همان برآورده‌گر سن Q_{med} می‌باشد. مقادیر مثبت Q_{med} نشان‌دهنده‌ی روند افزایشی و مقادیر منفی آن بیان‌گر روند کاهشی سری زمانی است.

1- Sen's slope estimator

تشخیص روند منطقه‌ای

آزمون من-کندال منطقه‌ای^۱

آزمون RAMK به منظور شناسایی روند در مقیاس منطقه‌ای مورد استفاده قرار می‌گیرد. S متوسط منطقه‌ای کندال (\bar{S}_m) از طریق معادله زیر محاسبه می‌شود (دوگلاس و همکاران^۲، ۲۰۰۰؛ یوو و وانگ^۳، ۲۰۰۲؛ ۹۴۶-۹۳۳):

$$\bar{S}_m = \frac{1}{m} \sum_{k=1}^m S_k \quad \text{رابطه‌ی (۵)}$$

که در این رابطه، m تعداد ایستگاه‌ها در منطقه‌ی و S_k آماری کندال برای K امین ایستگاه در منطقه است. در این روش برای متغیرهای تصادفی مستقل با توزیع یکسان میانگین صفر است.

$$E(\bar{S}_m) = 0$$

و واریانس از طریق معادله زیر محاسبه می‌شود:

$$\text{Variance}(\bar{S}_m) \left(\frac{n(n-1)(2n+5) - \sum_{i=1}^n t_i(i)(i-1)(2i+5)}{18m} \right) \quad \text{رابطه‌ی (۶)}$$

که t_i تعداد گره با گسترش ۲ است. (برای مثال یک سری داده با ۲ عدد گره، یک گره است با گسترش ۲). سپس پارامتر Z_m با رابطه زیر محاسبه می‌شود:

-
- 1- Regional Average Mann-Kendall (RAMK)
 - 2- Douglas et al
 - 3- Yue & Wang

$$Z_m = \frac{\bar{S}_m - E(S_m)}{\frac{\sigma}{\sqrt{m}}} = \frac{S_m}{\frac{\sigma}{\sqrt{m}}} \quad \text{رابطه‌ی (۷)}$$

Z_m متغیر نرمال استاندارد است. این روش فرض می‌کند که داده‌ها مستقل هستند. از آنجایی که این فرضیه برای همه‌ی سری‌های مورد بررسی صادق نیست، در این مطالعه روش RAMK به صورت زیر اصلاح و مورد استفاده قرار گرفت.

روش مرکب بوت استرپ-متوسط منطقه‌ای من کنداشده^۱

معنی‌داری روند در یک منطقه می‌تواند با روش بوت استرپ ارزیابی شود. در روش بوت استرپ، فرض صفر (H_0)، عدم وجود روند در داده‌هایی فاقد همبستگی جزئی، اما دارای همبستگی مکانی، است. روش بوت استرپ برای ساخت منحنی cdf ، با جا به جا کردن داده‌ها به صورت تصادفی در هو ایستگاه یک سری جدید ایجاد می‌کند. سپس برای چک کردن همبستگی جزئی سری جدید، روش lag-1 بر روی سری مورد نظر انجام می‌شود. سپس S روش من-کنداش محاسبه می‌شود. در صورتی که سری مورد نظر دارای همبستگی جزئی معنی‌دار باشد، روش MMK و در غیر این صورت روش MK برای محاسبه S مورد استفاده قرار می‌گیرد. این عملیات برای همه ایستگاه‌های موجود در یک منطقه انجام می‌شود و بعد میانگین S ها (\bar{S}_m) محاسبه می‌شود. این عملیات ۱۰۰۰۰ بار تکرار می‌شود (پالیزدان و همکاران، ۲۰۱۳) و \bar{S}_m های محاسبه شده به صورت صعودی رتبه‌بندی می‌شوند و سپس احتمال عدم وقوع (P) با استفاده از روش ویبول محاسبه می‌شود.

$$P = \frac{r}{B+1} \quad \text{رابطه‌ی (۸)}$$

1- Regional average modifaid Mann-Kendall Bootstrap method

در این رابطه، r رتبه داده‌ها و B در این آنالیز ۱۰۰۰۰ است. منحنی cdf بر اساس \bar{S}_m و P رسم می‌شود.

سپس با استفاده از رابطه زیر سطح معنی‌دار روند به دست می‌آید:

$$\text{Level of significance} = 1 - \alpha \quad \alpha = 2 \quad \text{رابطه‌ی (۹)}$$

که در آن P احتمال به دست آمده از منحنی cdf بر اساس \bar{S}_m محاسبه شده با استفاده از فرمول شماره‌ی ۵ است.

بحث و نتایج

روند ایستگاهی

من کندال اصلاح شده (مقیاس سالانه)

جدول (۱) مقادیر Qmed تخمین‌گر شب سن و آماره Z من کندال اصلاح شده را در خصوص تغییر تراز آب زیرزمینی دشت تویسرکان نشان می‌دهد. به طوری که از مقادیر Z من کندال اصلاح شده این جدول می‌توان استنباط کرد که تقریباً سری‌های زمانی تراز آب زیرزمینی دارای روند نزولی می‌باشد. نتایج نشان می‌دهد که از بین ۱۶ چاه پیزومتری در مقیاس سالانه و در سطح معنی‌داری ۹۵٪ فقط پیزومتر ۳ دارای روند صعودی است و پیزومترهای $5/2$ و ۱ بدون روند معنی‌دار می‌باشند و ۱۲ پیزومتر دیگر دارای روند نزولی می‌باشند و در سطح معنی‌داری ۹۵٪ پیزومتر ۱۰ دارای بیشترین روند نزولی است.

من کندال اصلاح شده (مقیاس فصلی)

در مقیاس فصلی پیزومتر ۳ در تمامی فصل‌ها دارای روند صعودی است و پیزومترهای ۵ و ۴ در تمامی فصل‌ها بدون روند می‌باشد و پیزومتر ۲ در فصل بهار

و پاییز بدون روند و پیزومتر ۱ در فصل بهار و ۶ در فصل بهار و تابستان و پاییز بدون روند است. نزولی ترین روند مربوط به ایستگاه پیزومتر ۱۱ با مقدار $Z=30/18$ در فصل تابستان است و صعودی ترین روند مربوط به پیزومتر ۳ در فصل پاییز با $Z=4/16$ است.

تخمین‌گر سن (مقیاس سالانه)

با توجه به اطلاعات جدول (۱) می‌توان گفت که در گام زمانی سالانه فقط پیزومتر ۳ در سطح اطمینان ۹۵٪ دارای روند صعودی و معنی‌دار است و در سایر پیزومترها روند، نزولی و معنی‌دار می‌باشد و از بین ۱۶ مورد Q_{med} محاسباتی، روند ۶/۲۵ درصد موارد معنی‌دار با شبیه مشبت و ۹۳/۷۶ درصد موارد دارای روند معنی‌دار و نزولی می‌باشد و بیشترین روند نزولی مربوط به پیزومتر ۱۳ با Q_{med} برابر ۱/۷۱۵ می‌باشد.

تخمین‌گر سن (مقیاس فصلی)

در مقیاس فصلی، پیزومتر ۵ در فصل تابستان و ۳ در هر چهار فصل و پیزومتر ۱ در فصل بهار دارای روند صعودی و بقیه پیزومترها در مقیاس فصلی دارای روند نزولی و نزولی ترین روند مربوط به پیزومتر ۱۳ در هر چهار فصل می‌باشد. با مقایسه دو روش من کن达尔 اصلاح شده و تخمین‌گر سن مشاهده می‌شود که هر دو روش روند نزولی را در مقیاس سالانه و فصلی را نشان می‌دهند با این تفاوت که با روش تخمین‌گر شبیه سن در هر دو مقیاس فصلی و سالانه هیچ پیزومتری را بدون روند نشان نمی‌دهد اما روش من کن达尔 اصلاح شده در مقیاس سالانه ۱۸/۷۵ درصد و در مقیاس فصلی ۲۳/۴۴ درصد را بدون روند نشان می‌دهد.

تحلیل روند منطقه‌ای

روند سطح آب زیرزمینی در مقیاس سالانه و فصلی همه دارای روند نزولی می‌باشد (جدول ۲) اما این روند در مقیاس سالانه و در فصل تابستان دارای روند نزولی قابل توجهی است. با توجه به نمودارهای شکل (۲) زمانی که مقدار S_{mean} -۹۱/۱۳ می‌باشد مقدار معنی‌داری صفر بوده و با قرار دادن در رابطه‌ی (۱۳) مقدار سطح معنی‌داری به دست می‌آید. بنابراین می‌توان نتیجه گرفت که منطقه از روند نزولی معنی‌داری برخوردار است.

جدول (۱) نتایج ZMMK و Q_{med} در مقیاس زمانی سالانه و فصلی در چاههای مورد مطالعه (متر در واحد زمان)

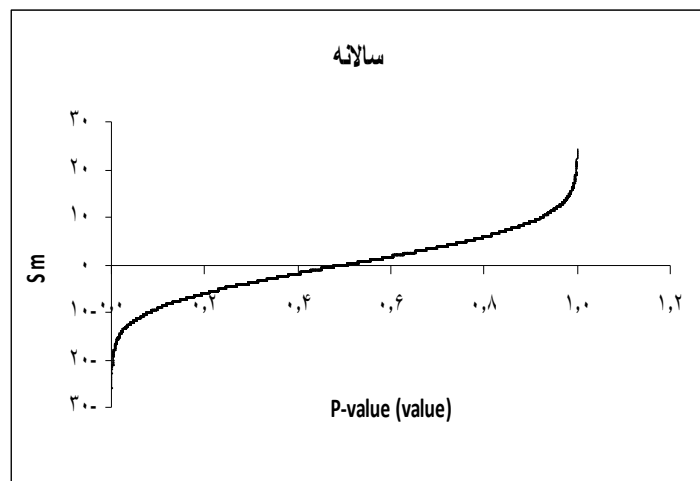
| نام ایستگاه | سالانه | فصلی | | | | | | | | کد سبک | | |
|---------------|--------|--------|--------|---------|--------|--------|------------------|--------|------------------|-----------|------------------|----|
| | | زمستان | پاییز | تابستان | بهار | ZMMK | Q_{med} | ZMMK | Q_{med} | ZMMK | Q_{med} | |
| امیرآباد | -۵/۴۹* | -۱/۳۷* | -۵/۵۸* | -۱/۳۲* | -۵/۳۶* | -۱/۵۴* | -۷/۸۸* | -۱/۲۷* | -۵/۴۹* | -۱/۳۷* | -۵/۲۶* | ۱۰ |
| ابیارتفت | -۴/۴۲* | -۱/۲۹* | -۴/۳۰* | -۱/۲۸* | -۴/۰۳* | -۱/۳۴* | -۳/۶۵* | -۱/۲۸* | -۴/۴۲* | -۱/۲۹* | -۴/۳۹* | ۷ |
| اریکان | -۰/۱۱ | -۰/۰۲* | -۰/۰۰ | -۰/۰۲* | -۰/۱۴ | -۰/۰۴* | -۰/۱۴ | -۰/۰۴* | -۰/۱۱ | -۰/۰۰۳* | -۰/۰۵* | ۵ |
| چاشخوران | -۶/۸۲* | -۶/۸۲* | -۰/۷۹* | -۳۰/۱۸* | -۰/۸۹* | -۳/۹۲* | -۰/۶۶* | -۵/۲۲* | -۰/۷۷* | -۰/۷۷* | -۴/۶۲* | ۱۱ |
| ده موسی | -۴/۶۱* | -۴/۶۹* | -۱/۴۴* | -۴/۶۵* | -۱/۵۳* | -۴/۱۳* | -۱/۳۰* | -۵/۲۷* | -۱/۴۱* | -۱/۴۱* | -۴/۵۵* | ۱۶ |
| رودآور | -۱/۱۶* | -۱/۸۹ | -۰/۱۹* | -۱/۸۲ | -۰/۱۴* | -۱/۵۰ | -۰/۱۷* | -۲/۴۵* | -۰/۱۷* | -۰/۱۷* | -۱/۴۷ | ۴ |
| سرانی | ۴/۱۶* | ۴/۱۶* | ۰/۶۶* | ۲/۸۴* | ۰/۶۱* | ۲/۵۰* | ۰/۵۹* | ۲/۹۲* | ۰/۶۱* | ۰/۶۱* | ۲/۴۲* | ۳ |
| سه راه فرستنگ | -۱/۲۵* | -۳/۱۵* | -۱/۱۳* | -۳/۴۳* | -۱/۲* | -۳/۲۹* | -۱/۲۶* | -۲/۶۴* | -۱/۲۲* | -۱/۲۲* | -۳/۴۰* | ۹ |
| قلعه نو | -۱/۶۲* | -۳/۲۳* | -۱/۷* | -۴/۶۳* | -۱/۸۵* | -۴/۵۲* | -۱/۷۱* | -۵/۰۳* | -۱/۷۲* | -۱/۷۲* | -۴/۳۴* | ۱۳ |
| کارخانه | -۳/۸۰* | -۰/۴۰* | -۳/۸۵* | -۰/۰۲* | -۴/۰۲* | -۰/۶۱* | -۳/۷۱* | -۰/۴۶* | -۳/۲۰* | -۰/۵۵* | -۰/۴۰* | ۱۵ |
| کرزان | -۰/۲۲* | -۱/۷۵ | -۰/۱۷* | -۴/۲۷* | -۱/۱۹* | -۱/۸۲ | -۰/۲۵* | -۱/۴۳ | -۰/۱۸* | -۰/۱۸* | -۲/۳۱* | ۲ |
| مبارکآباد | -۲/۱۳* | -۰/۰۵* | -۲/۱۳* | -۰/۰۹* | -۲/۴۵* | -۰/۰۸* | ۰/۲۸ | ۰/۰۱* | -۱/۴۰ | -۰/۰۵* | -۱/۰۵* | ۱ |
| محمودآباد | -۳/۶۵* | -۰/۵۱* | -۳/۶۴* | -۰/۶۱* | -۳/۹۲* | -۰/۷۹* | -۳/۵۷* | -۰/۵۸* | -۳/۵۸* | -۰/۶۱* | -۳/۳۶* | ۸ |
| معتصمآباد | -۰/۹۲* | -۲/۹۴* | -۰/۹۰* | -۳/۴۶* | -۱/۲۲* | -۳/۴۳* | -۱/۰۵* | -۳/۶۸* | -۱/۰۱* | -۱/۰۱* | -۳/۱۵* | ۱۴ |
| منجان | -۰/۲۹* | -۴/۲۷* | -۰/۴۰* | -۴/۵۵* | -۰/۵۱* | -۳/۷۴* | -۰/۳۳* | -۳/۴۴* | -۰/۳۹* | -۰/۳۹* | -۳/۸۱* | ۱۲ |
| نقده | -۰/۱۰* | -۱/۹۴ | -۰/۱۷* | -۱/۷۳ | -۰/۲۴* | -۱/۰۹ | -۰/۱۰* | -۴/۳۲* | -۰/۱۵* | -۰/۱۵* | -۲/۷۵* | ۶ |

* نشان‌دهنده روند معنی‌دار می‌باشد

وجود روند نزولی منطقه‌ای در دشت مورد مطالعه از این نظر قابل تأمل است که پیزومترهایی همانند ۵، ۳ و ۱ علی‌رغم دارا بودن روند مثبت در یک بازه زمانی مشخص نتوانسته‌اند در مجموع بیلان منفی دشت را چه در مقیاس فصلی و چه در مقیاس سالانه جبران کنند و بدین ترتیب الگوی بسیار مناسبی از عملکرد حوضه‌ی آبریز به تصویر کشیده شده است.

جدول (۲) نتایج RAMK- Bootstrap method در دشت تویسرکان

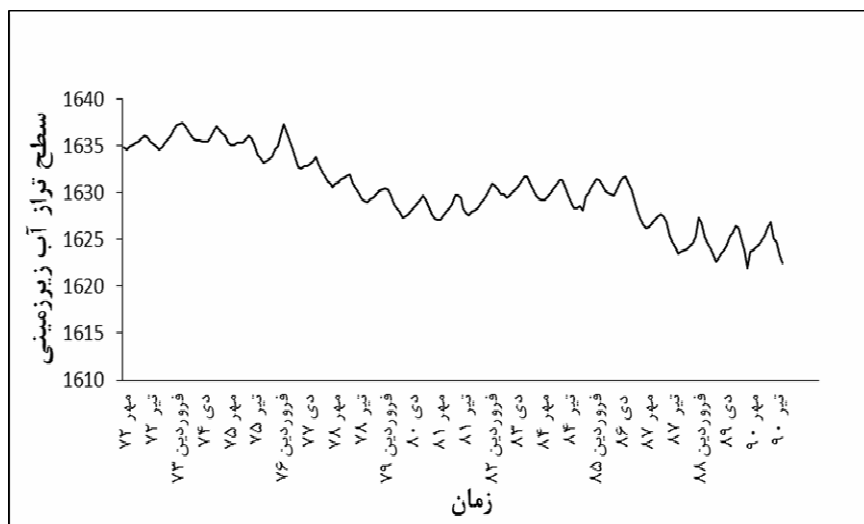
| | S _{mean} | Bootstrap Probability | Significant Level |
|---------|-------------------|-----------------------|-------------------|
| سالانه | -۹۱/۱۳ | . | ۱ |
| بهار | -۷۴/۶۹ | . | ۱ |
| تابستان | -۹۲/۵۰ | . | ۱ |
| پاییز | -۸۲/۸۸ | . | ۱ |
| زمستان | -۸۱/۲۵ | . | ۱ |



شکل (۲) منحنی تابع توزیع تجمعی (cdf) بوت استرپ در مقیاس سالانه و فصلی در دشت

تحلیل هیدروگراف واحد دشت

با توجه به شکل (۳) میزان افت کل در دوره‌ی آماری برابر با $12/33$ متر و متوسط افت سالیانه برابر با $0/65$ متر می‌باشد. با احتساب محدوده‌ی آبخوان اصلی (150 کیلومتر مربع) و میزان متوسط افت سالیانه ($0/65$ متر) و ضریب ذخیره‌ی 6 درصدی میزان کسری حجم مخزن در طول دوره‌ی آماری (19 ساله) برابر با $110/97$ میلیون مترمکعب است. متوسط کسری حجم مخزن سالانه در این دشت برابر با $5/84$ میلیون مترمکعب برآورد می‌گردد. بر اساس هیدروگراف واحد مشخص است سطح آب زیرزمینی در سال‌های $1387-1390$ به شدت کاهش یافته است. روند افزایشی افت سطح آب زیرزمینی در هیدرورگراف بیانگر آن است که اثرات برداشت از آب زیرزمینی در سال‌های آبی بعدی جبران نشده و در اثر خشکسالی و برداشت بی‌رویه توسط چاههای کشاورزی، حجم مخزن هر ساله کاهش یافته است.



شکل (۳) هیدروگراف واحد دشت تویسرکان

نتایج بررسی سطح آب زیرزمینی دشت تویسرکان نشان می‌دهد که اثرات بارندگی بر روی نوسانات سطح آب زیرزمینی بسیار حائز اهمیت می‌باشند، بنابراین در این پژوهش از نتایج تحقیق ازدری (۱۳۹۳: ۱۲۷-۱۳۳) برای یافتن اثرات خشکسالی و ترسالی روی سطح آب زیرزمینی در دشت تویسرکان استفاده شد. آنها در پژوهش خود نشان دادند که، SPI با مقیاس زمانی بلندمدت ۴۸ ماهه با $r=0.36$ بیشترین همبستگی را با سطح آب زیرزمینی دشت دارد بنابراین با توجه به همبستگی پایین بین شاخص SPI و GRI می‌توان بیان نمود که خشکسالی‌ها تنها عامل اصلی افت سطح آب زیرزمینی دشت نمی‌باشد بلکه برداشت بی‌رویه از دیگر عوامل است. خشکسالی‌های اقلیمی در کوتاه‌مدت بر روی سطح آب زیرزمینی اثری ندارند اما در بلندمدت باعث افت سطح آب زیرزمینی می‌شوند. افزایش خشکسالی‌ها به‌خصوص در سال‌های اخیر باعث افزایش برداشت از سطح آب زیرزمینی و در نتیجه شدت افت سطح آب زیرزمینی دشت شده است. به طوری که در سال ۱۳۷۹ تا ۱۳۸۰ روند کاهشی سطح آب زیرزمینی مشاهده می‌گردد. با توجه به سال‌های ۱۳۸۰ تا سال ۱۳۸۵ افزایش بارندگی‌ها در این سال و تر سالی به وجود آمده باز هم سطح آب زیرزمینی افت زیادی داشت که نشان می‌دهد برداشت بی‌رویه از سطح آب زیرزمینی به قدری زیاد بوده که بارندگی‌های به وجود آمده نیز بر روی کاهش افت آن کم‌تأثیر بوده است. می‌توان برداشت بی‌رویه و حفر چاههای غیرمجاز را از عوامل مهم دانست. در سال‌های ۱۳۸۶ به بعد با توجه به روند مقطوعی کاهش بارندگی تا اواخر ۱۳۸۷ همچنان افت سطح آب زیرزمینی در دشت مشاهده می‌گردد (ازدری، ۱۳۹۳: ۱۲۷-۱۳۳). بنابراین بر طبق نتایج حاصله از تحلیل روند به دو روش منطقه‌ای و ایستگاهی و همچنین تحلیل هیدروگراف دشت می‌توان دریافت که روند سطح تراز سفره‌ی آب زیرزمینی در دشت تویسرکان رو به افت می‌باشد.

نتیجه‌گیری

هدف از این تحقیق بررسی روند سالانه و فصلی داده‌های آب زیرزمینی دشت تویسرکان به دو صورت ایستگاهی و منطقه‌ای بود. بدین ترتیب از داده‌های ۱۶ ایستگاه پیزومتری موجود در دشت در طول دوره‌ی آماری ۱۳۹۰-۱۳۷۲ استفاده شد که روند ایستگاهی با دو روش ناپارامتری من کنдал اصلاح شده و تخمین‌گر سن انجام شد و روند منطقه‌ای با روش میانگین من-کنдал منطقه‌ای بوت استرپ مورد تجزیه و تحلیل قرار گرفت. نتایج این تحقیق با استفاده از این سه آزمون نشان داد که سطح تراز سالانه آب زیرزمینی در همه پیزومترها به جز پیزومتر ۳ دارای روند کاهشی در دو دهه‌ی اخیر بوده و تحلیل صورت گرفته توسط این سه آزمون به صورت فصلی نشان داد که در فصل تابستان آب زیرزمینی دارای روند نزولی بیشتری است و بیشترین روند صعودی معنی‌دار در داده‌های هر چهار فصل در پیزومتر ۳ با استفاده از هر دو روش MMK و تخمین‌گر سن می‌باشد و بیشترین روند نزولی معنی‌دار در فصل تابستان و پاییز در پیزومتر ۱۱ و در فصل بهار و زمستان ایستگاه پیزومتری ۱۰ با استفاده از روش MMK و در پیزومتر ۱۳ با روش تخمین‌گر سن در هر چهار فصل می‌باشد. به طور کلی با استفاده از روش من کنдал اصلاح شده در مقیاس فصلی $6/25$ درصد دارای روند مثبت معنی‌دار و $70/31$ درصد دارای روند منفی معنی‌دار و $23/44$ درصد بدون روند می‌باشد و با روش تخمین‌گر سن از بین 64 مورد Q_{med} محاسباتی در مقیاس فصلی، $10/94$ درصد دارای روند مثبت معنی‌دار و $89/06$ درصد دارای روند نزولی معنی‌دار می‌باشد بنابراین با روش تخمین‌گر سن، روند در تمامی ایستگاه‌ها در هر دو مقیاس سالانه و فصلی معنی‌دار می‌باشد. روش میانگین من-کنдал منطقه‌ای بوت استرپ که در مقیاس سالانه و فصلی روند نزولی را نشان می‌دهد. همچنین تحلیل هیدروگراف واحد دشت نشان داد که میزان افت کل در دوره‌ی آماری برابر با

۱۲/۳۳ متر و متوسط افت سالیانه برابر با ۰/۶۵ متر است که یکی از عوامل افت سطح آب زیرزمینی را بهره‌برداری غیراصولی از چاههای حفر شده در سطح دشت را می‌توان نام برد به طوری که میزان برداشت از چاهها، چشمه‌ها و قنوات از ۱۹۷۶ حلقه در سال ۱۳۸۲ به ۲۱۱۵ حلقه در سال ۱۳۸۸ گزارش شده است. در کل می‌توان بیان نمود که روند رو به افت آب زیرزمینی به دلیل بروز خشکسالی‌های اخیر و برداشت سالانه از چاههای کشاورزی و جبران نشدن اثرات برداشت در سال‌های آتی می‌باشد. به همین ترتیب کاهش نزوالت در دهه‌های اخیر و افزایش سطح زیرکشت در سال‌های اخیر باعث افت سطح آب زیرزمینی شده است. نتیجه این که اگر برداشت بی‌رویه آب به همین ترتیب ادامه یابد بدون شک در آینده عواقب نامطلوب در مورد منابع آب زیرزمینی دشت تویسرکان و به تبع آن بحران‌های اجتماعی، اقتصادی و سیاسی در منطقه اتفاق خواهد افتاد. بنابراین در این منطقه مدیریت در زمینه‌ی استفاده از آب‌های زیرزمینی و تغذیه‌ی مصنوعی سفره‌ی آب زیرزمینی دشت تویسرکان، افزایش راندمان آبیاری، پوشش انهراء، صرفه‌جویی در مصرف آب، نوع کشت مناسب با منطقه و نحوه‌ی آبیاری از شیوه‌های سنتی که حجم قابل توجهی از آب هدر می‌رود به شیوه‌های جدید (آبیاری قطره‌ای) می‌تواند تا حدودی از افت بی‌رویه‌ی سطح آب دشت تویسرکان جلوگیری کند. بدین ترتیب نتایج این تحقیق را می‌توان در پهنه‌بندی و پیش‌بینی خشکسالی‌های آتی، طراحی و برنامه‌ریزی آبیاری و مدیریت منابع آب به کار برد.

منابع

- اژدری، زهرا (۱۳۹۳)، بررسی تأثیر بارش (برف و باران) بر تراز سفره‌های آب زیرزمینی با استفاده از GIS و RS، پایان‌نامه‌ی کارشناسی ارشد آبخیزداری، دانشکده‌ی منابع طبیعی و کویرشناسی، دانشگاه یزد، صص ۱۲۷-۱۳۳.
- باشقروه، عبدالحد (۱۳۷۷)، ارزیابی پتانسیل قابل بهره‌برداری از آب‌های زیرزمینی دشت مهران به کمک GIS و RS، پایان‌نامه‌ی کارشناسی ارشد، دانشکده علوم انسانی، دانشگاه تربیت مدرس.
- دانشور و ثوقی، فرناز؛ دین پژوه، یعقوب و محمدتقی اعلمی (۱۳۹۰)، تأثیر خشکسالی بر تراز آب زیرزمینی در دو دهه‌ی اخیر (مطالعه‌ی موردی: دشت اردبیل)، مجله‌ی دانش آب و خاک، شماره‌ی ۴، صص ۱۶۵-۱۷۹.
- زحمت‌کش، قدرت‌الله؛ علوی‌پناه، سید‌کاظم و غلامرضا زهتابیان (۱۳۸۰)، مطالعه‌ی نوسانات سفره‌های آب زیرزمینی کم‌عمق حاشیه‌ی پلایا (مطالعه‌ی موردی سمنان)، مجله‌ی بیابان، جلد ششم، شماره‌ی ۲، صص ۱۵ تا ۳۰.
- رضیئی، طیب؛ دانشکار آراسته، پیمان و بهرام ثقفیان (۱۳۸۴)، بررسی روند بارندگی سالانه در مناطق خشک و نیمه‌خشک مرکزی و شرقی ایران، مجله‌ی آب و فاضلاب، شماره‌ی ۲ صص ۷۳-۸۱.
- شمسی‌پور، علی‌اکبر و کیومرث حبیبی (۱۳۸۷)، ارزیابی اثرات خشکسالی بر آب‌های زیرزمینی (مطالعه‌ی موردی دشت‌های شمال همدان)، مجموعه‌ی مقالات کنفرانس خشکسالی در استان چهارمحال و بختیاری و راه‌های مقابله با آن، دانشگاه شهرکرد.
- صبوحی، راضیه و سعید سلطانی کوپایی (۱۳۸۷)، تحلیل روند عوامل اقلیمی در شهرهای بزرگ ایران، علوم و فنون کشاورزی و منابع طبیعی، شماره‌ی ۱۲، صص ۳۰۳-۳۲۱.

- معروفی، صفر و حسین طبری (۱۳۹۰)، آشکارسازی دبی رودخانه‌ی مارون با استفاده از روش‌های پارامتری و ناپارامتری، فصلنامه‌ی تحقیقات جغرافیایی، سال ۲۶، شماره‌ی ۱۰۱.

-Basistha A., Arya D., Goel, N. (2009), **Analysis of Historical Changes in Rainfall in the Indian Himalayas**, Int J Climatol 572: PP. 555–572

-Douglas EM, Vogel RM, Kroll CN (2000), **Trends in Floods and Low Flows in the United States: Impact of Spatial Correlation**, J Hydro 1240:90–105

-Hamed, KH. (2008), **Trend Detection in Hydrologic Data: The Mann–Kendall Trend Test under the Scaling Hypothesis**, J Hydrol 349: PP. 350–363

-Hamed, K.H., Rao, A.R., (1998), **A modified Mann–Kendall Trend Test for Autocorrelated Data**, Journal of Hydrology 204, PP. 182–196.

-Jiang, T., Su, B. and Hartmann, H. (2007), **Temporal and Spatial Trends of Precipitation and River Flow in the Yangtze River Basin**, 1961–2000, Geomorphology, Vol. 85, PP. 143–154.

-Kendall, M.G. (1975), **Rank Correlation Methods**, Charles Griffin, London.

-Pasquini AI, Lecomte KL, Piovano EL and Depetris PY, (2006), **Recent Rainfall and Runoff Variability in Central Argentina**, Quaternary International, 158(1): PP. 127-139

-Sen, P.K. (1968). **Estimates of the Regression Coefficient Based on Kendall's Tau**, J. Am. Stat. Assoc., 63, PP. 1379-1389.

-Zhang, W., Yan, Y., Zheng, J., Li, L., Dong, X. and Cai, H, (2009), **Temporal and Spatial Variability of Annual Extreme Water Level in the Pearl River Delta Region, China**, Journal of the Global and Planetary Change, 69: PP. 35-47.